

Fig. 7.

Fig. 8.

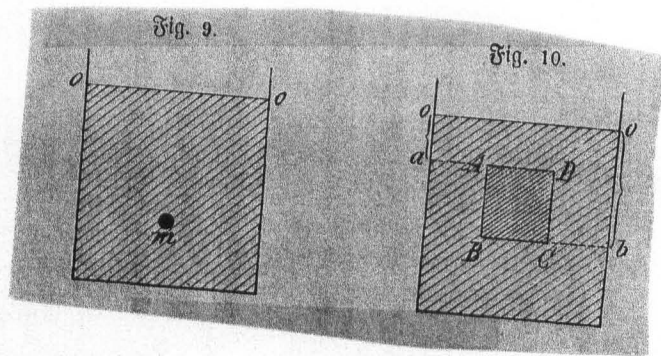
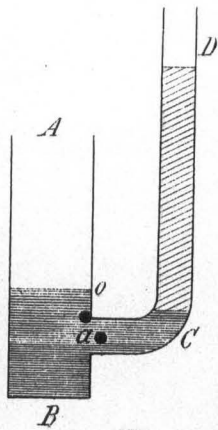
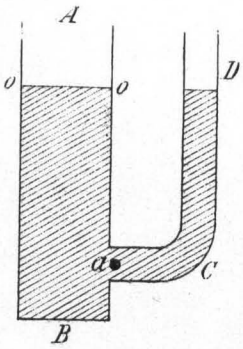


Fig. 11.

Fig. 12.

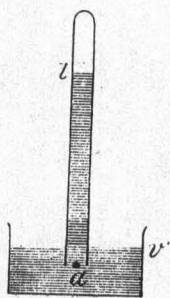
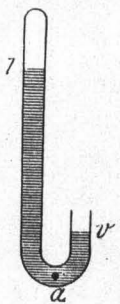


Fig. 13.

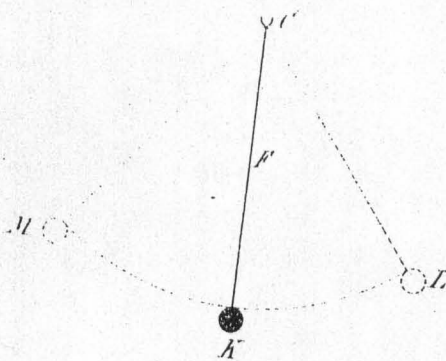
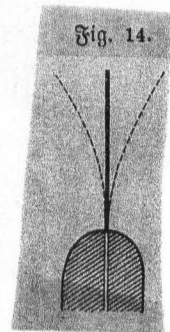
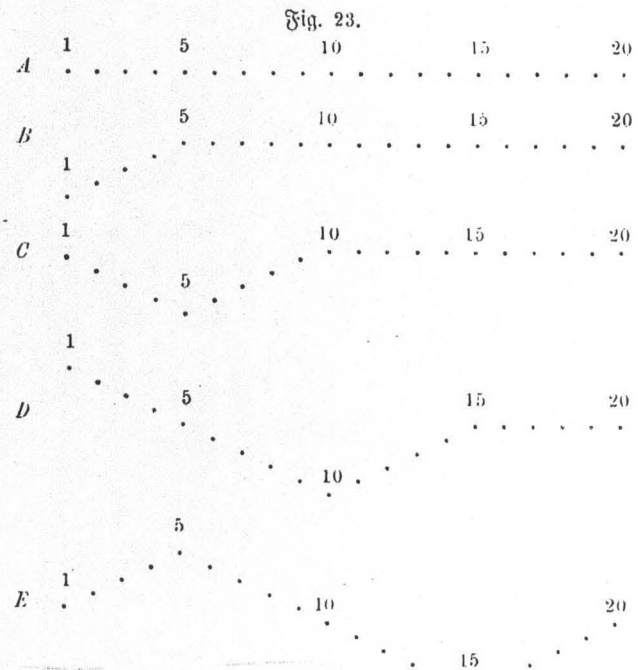
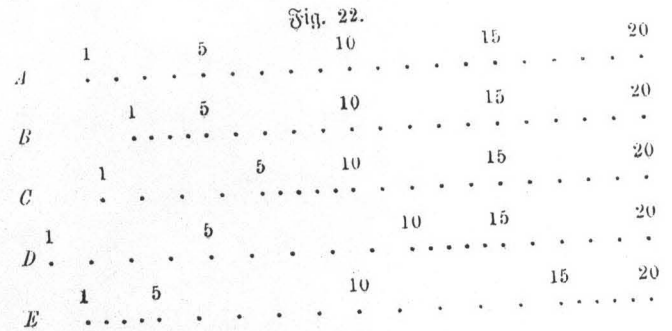
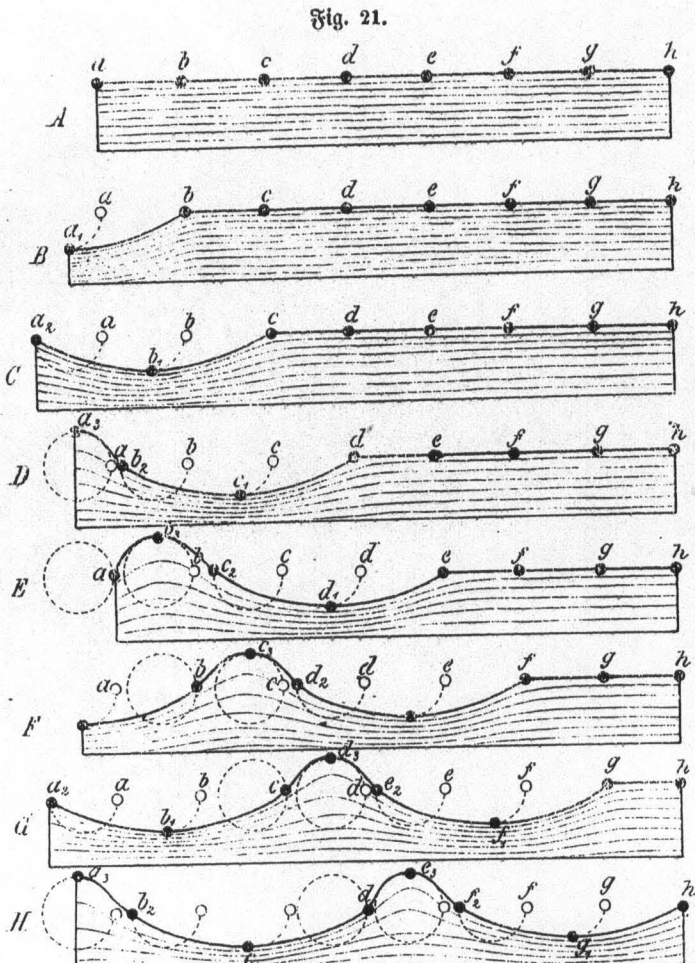
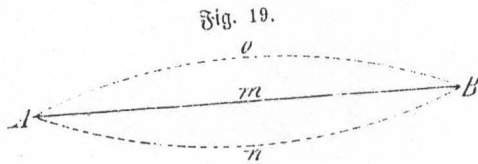
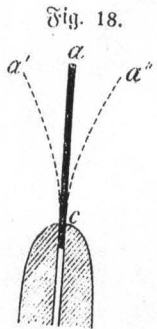
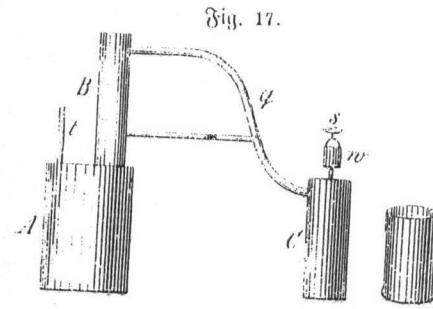
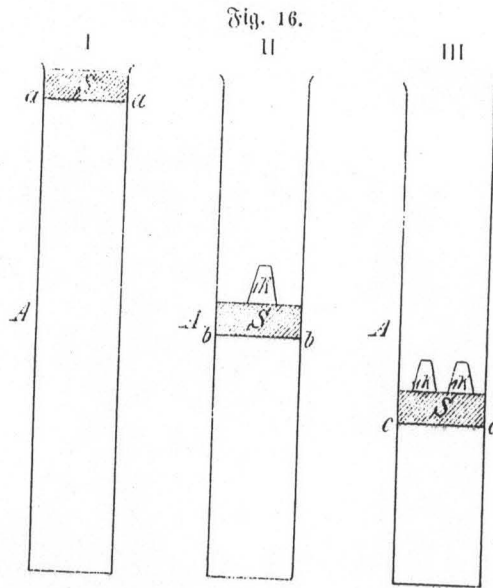
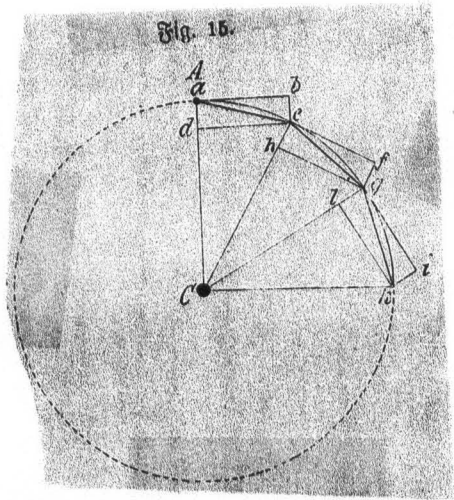


Fig. 14.





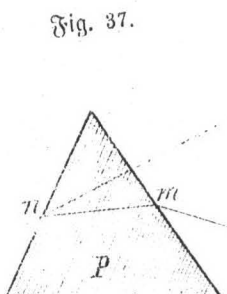
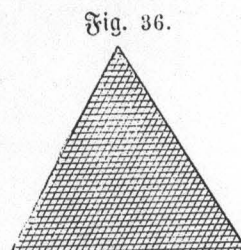
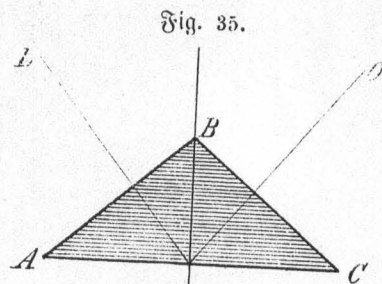
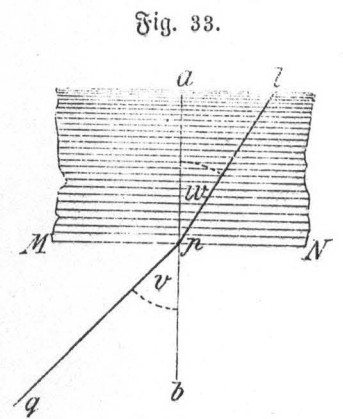
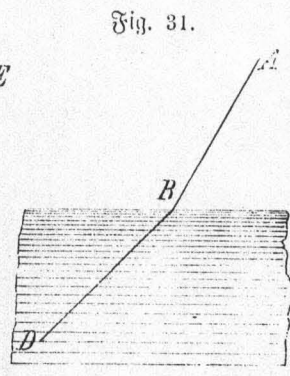
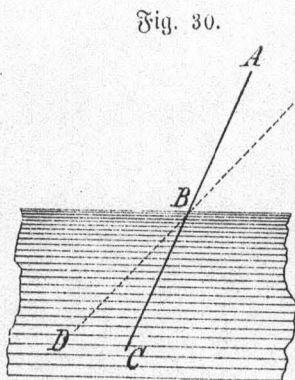
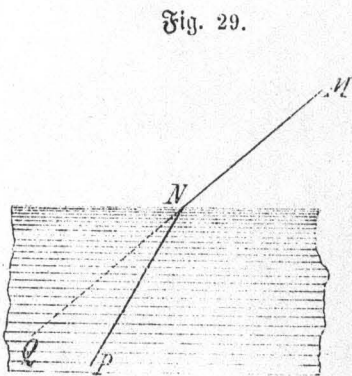
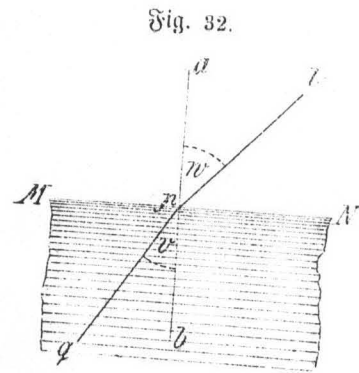
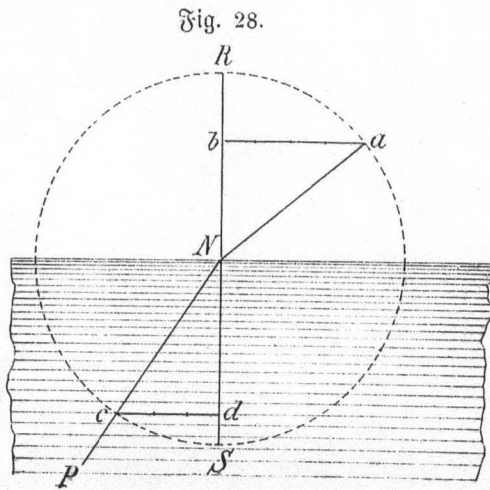
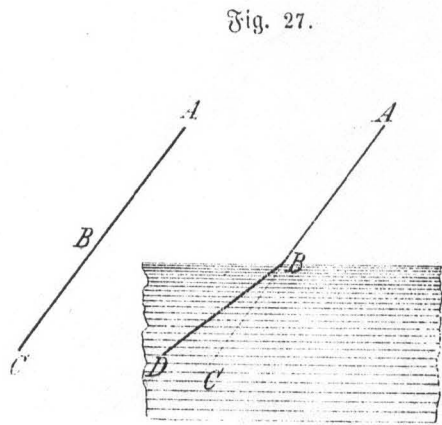
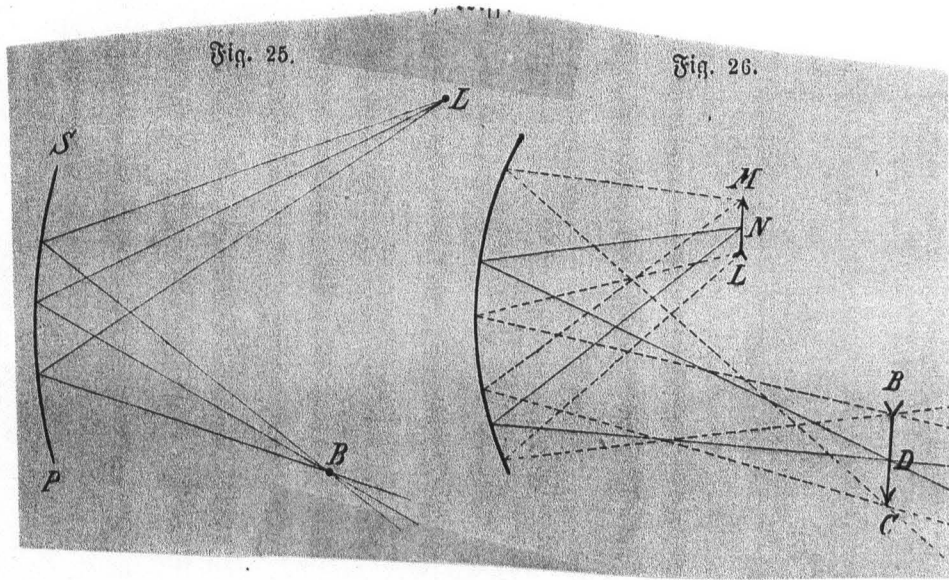
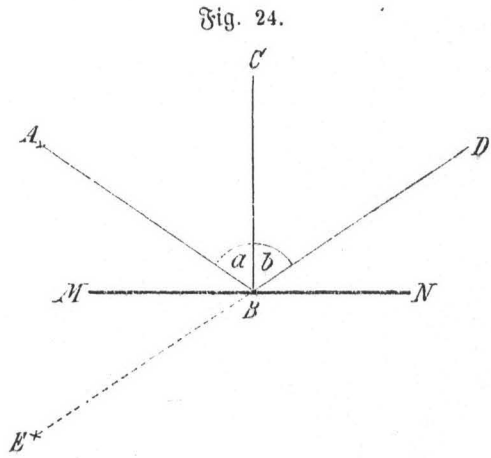


Fig. 50.

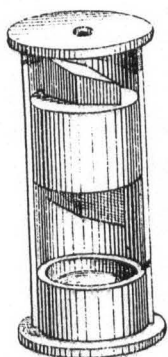


Fig. 51.

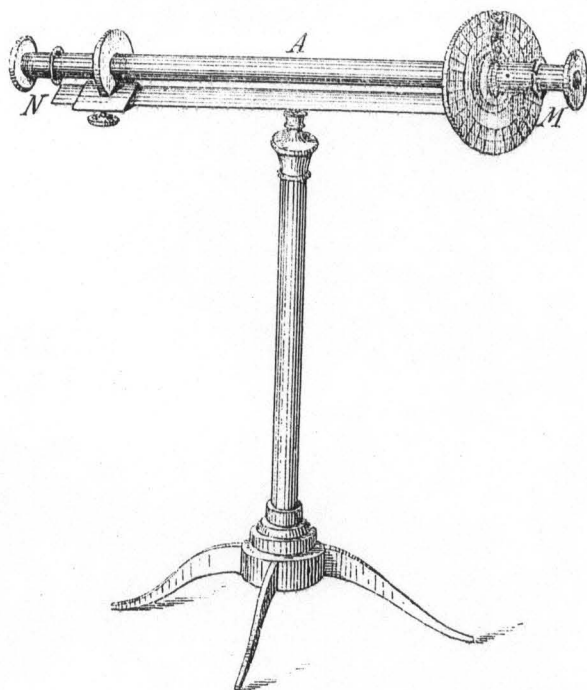


Fig. 55.

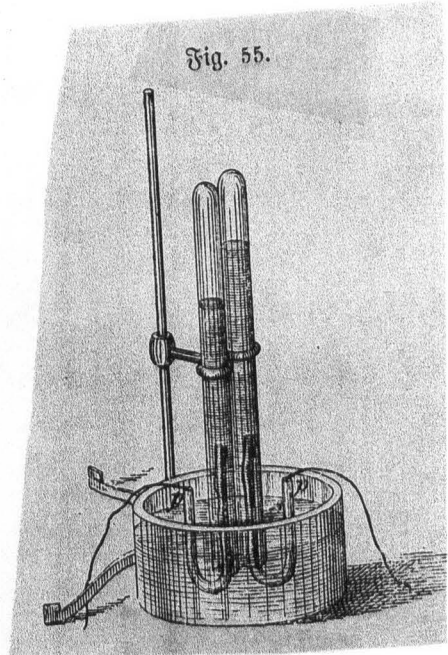


Fig. 52.

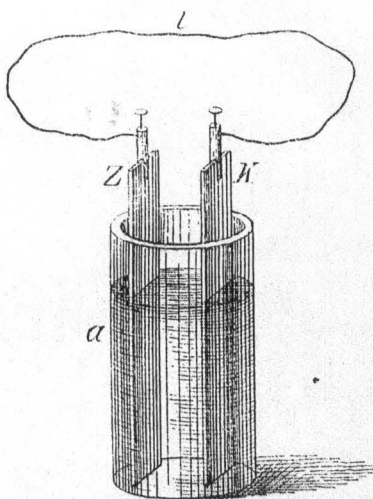


Fig. 53.

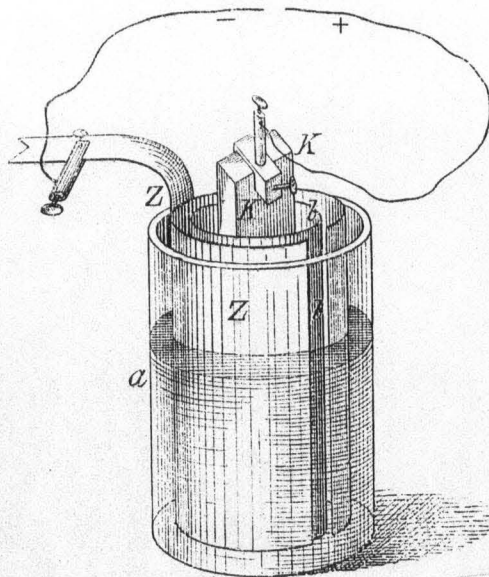


Fig. 56.

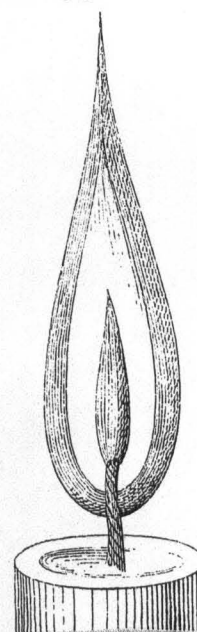


Fig. 57.

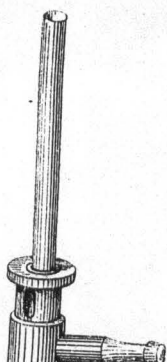


Fig. 58.

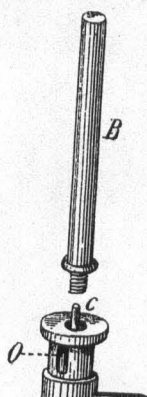


Fig. 59.

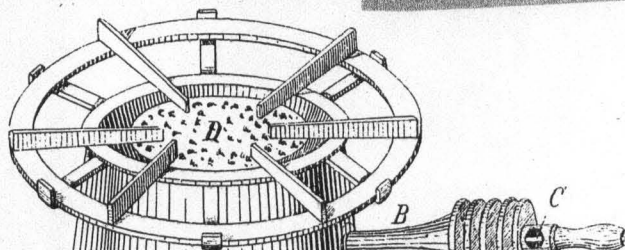


Fig. 60.

